

## pH가 조절된 고농도 탄산염 용액에서 $\text{UO}_2$ 전극의 산화용해 특성

김광욱, 양한범, 임재관, 정동용, 최은경, 현준택, 성새름, 이일희

한국원자력연구원, 대전광역시 유성구 대덕대로 1045

[nkwickim@kaeri.re.kr](mailto:nkwickim@kaeri.re.kr)

### 1. 서론

최근에 과산화수소를 갖는 탄산염 용액 계를 이용하여 사용후핵연료 내의 U만의 선택적 용해와 용해된 U의  $\text{UO}_4^{2-}$ 로 침전 회수할 수 있는 COL (Carbonate-based Oxidative Leaching) 공정이 소개된 바 있다.[1,2] COL 공정은 사용후핵연료를 관리하기 위한 한 방법으로 높은 핵확산저항성과 환경친화성이 있다고 평가되고 있다. 탄산염 용액에서 과산화수소에 의한  $\text{UO}_2$ 의 용해 방법은 간단하지만 과산화수소에 의한  $\text{UO}_2$ 의 산화 용해반응이 별별 특징을 가지므로, 온도가 상승된 알카리 탄산염 용액에서 과산화수소가 자체 분해되어 과산화수소의 소모량이 많게 되는 문제를 가지게 된다. 과산화수소를 사용하지 않은 탄산염 용액에서의  $\text{UO}_2$ 의 전해 산화는 COL 공정의 경제성 및 안정성을 향상시킬 수 있다. 지금까지 탄산염 용액에서  $\text{UO}_2$ 의 양극 산화는 많이 연구되어 있으나, 이를 연구는 모두 사용후핵연료의 지하처분 시 사용후핵연료의 부식 용해를 규명하기 위한 연구로 대부분  $\text{UO}_2$  산화-환원 평형 전위에서의 용해 기구를 규명하기 위한 것으로  $\text{UO}_2$  산화-환원 평형전위 이상의 전위에서 탄산염 용액에서의  $\text{UO}_2$ 의 연구는 거의 이루어있지 않은 상태이다.

따라서 본 연구에서는 다양한 pH로 조절된 탄산염 용액에서  $\text{UO}_2$ 의 용해 기구 규명 및 용해속도 평가가 수행되었다.

### 2. 본론

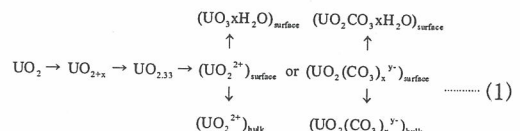
#### 2.1 실험

양극으로 사용되는  $\text{UO}_2$ 는 직경 8.2mm, 길이 10mm의 펠렛으로 전극 터미널로 사용되는 SUS 봉과 테프론 슬리브 내에서 연결되어 전극으로 사용되었다. 전해 셀은 pH가 조절된 50 mL 용액의 0.5 M 탄산용액에  $\text{UO}_2$  전극과 참조전극으로 SSE ( $\text{Ag}/\text{AgCl}$ ), 대응전극으로 Pt을 장착하여 구성하였다.  $\text{UO}_2$  전극 표면은 금강석 (No. 400,800,

1200)과  $0.5\mu\text{m}$  알루미나를 순차적으로 사용하여 연마하였으며, 이후 증류수로 철저히 세척하여 사용하였다. Voltammogram은  $-1.5\text{V} \sim +4.5\text{V}$  (vs SSE) 범위에서 측정되었고,  $\text{UO}_2$  전극의 용해속도는 여러 정전압에서 용해된 U 농도를 측정하여 평가하였으며, 이때  $\text{UO}_2$  전극은 전해 과정에서 발생되는 산소가 전극 표면 모여 전해 반응 측정에 영향을 주는 것을 최소화하기 위하여 표면을 상부로 향하도록 하였다. 용해 후 전극 표면을 절단하여 SEM, 및 EPMA를 사용하여 전극 표면 상태를 분석하였다. 용액중의 U 농도는 Arsenazo III를 이용한 비색분석을 통하여 분석하였다.

#### 2.2 결과 및 토의

$\text{UO}_2$ 는 식 (1)과 같이 여러 단계를 거쳐  $\text{UO}_2^{2+}$  형태로 용해되며, 이후 전극 표면의 조건에 따라  $\text{UO}_3 \cdot x\text{H}_2\text{O}$ 의 부식 생성물로 변화될 수 있고, 용액에 탄산염 이온이 존재 시 복잡한  $\text{UO}_2(\text{CO}_3)_x^{y-}$  촉매 형태로 존재하거나,  $\text{UO}_2(\text{CO}_3)_x\text{H}_2\text{O}$ 의 부식 생성물이 형성될 수 있다.



$\text{UO}_2^{2+}$  이온이 탄산염 이온과 반응은 식 (2)와 같이 표현되며, 탄산염 이온 용액에서  $\text{UO}_2$ 의 산화 용해 반응은 식 (3)과 같이 표현된다.



산소 발생전위 전까지의 범위에서 Voltamogram인 그림 1에서 P1은  $\text{UO}_2$  구조내 입도 경계에 존재하는 비양론성의  $\text{UO}_{2+x}$ 의 산화에 의한 것이고, P2는  $\text{UO}_2$ 의  $\text{UO}_{2,33}$ 으로 산화에 의한 것이다. P3는  $\text{UO}_{2,33}$ 이  $\text{UO}_2^{2+}$ 로 산화에 의한 것이다. P4는  $\text{UO}_2^{2+}$ 로의 환원에 의한 것이고, P5는  $\text{UO}_{2+x}$  또는 부식생성물의 환원에 의한 것이다. 그림 2에

는 산소 발생이 일어나는 약 +1 V보다 훨씬 높은 +4.5 V까지의 Voltammogram이 나타나 있다. 그림 1과는 다르게 산소 발생에 의한 전류에 의한 P6가 나타나며 산소 발생 전류가 급격히 감소하다 더 높은 전위에서 다시 전류가 급격히 증가하며, scan을 반복함에 따라 전체적인 전류는 급격히 감소되어 나중에는 거의 전극의 활성이 없어지는 것을 관찰할 수 있다. 이것은 전극 표면에 생성되는  $\text{UO}_2(\text{CO}_3)x\text{H}_2\text{O}$  부식 생성물에 의해  $\text{UO}_2$  표면의 산화용해가 억제되기 때문으로, 이는 EMPA 표면 분석에 의해서도 확인 될 수 있었다. 그림 3. (A)와 (B)에는 여러 정전압이 전극에 공급될 시, 시간에 따른 용액에서 U 농도 변화와 이를 통해 계산된 용해 속도를 측정하였다. pH가 낮아질수록 전극 표면에 부식 생성물이 형성되더라도 산소 발생에 의해 전극 표면에 존재하는 부식 생성물이 파괴되어 전극 용해가 증가됨을 볼 수 있다.

본 연구에서는 pH가 11.5, 11, 10, 9로 조절된 0.5 M 탄산염 농도에서 voltammogram 변화와 용해 속도를 측정하였다. pH가 낮아질수록 전극 표면에 부식 생성물이 형성이 억제되어 그림 2와 같은 산소발생 전류의 피그가 나타나는 현상이 없어지며,  $\text{UO}_2$ 의 용해속도는 pH 10이하에서 급격히 증가되었다.

pH가 높은 탄산염 용액에서의  $\text{UO}_2$  전해 용해는 부식 생성물이 형성되더라도 산소 발생이 충분히 이루어져 전극 표면의 부식 생성물이 파괴되는 +4V 이상에서 용해하는 것이 효과적임을 알 수 있었다.

### 3. 감사의 글

본 연구는 교육과학기술부의 원자력연구개발 중장기 계획사업 일환으로 수행된 연구결과입니다.

### 4. 참고문헌

- [1] K.-W. Kim, et al., Nuclear Technology, 166,170(2009).
- [2] S.M. Pepper, et al, W.H. Runde, *Ind Eng.Chem.Res.*,43,8188(2004).

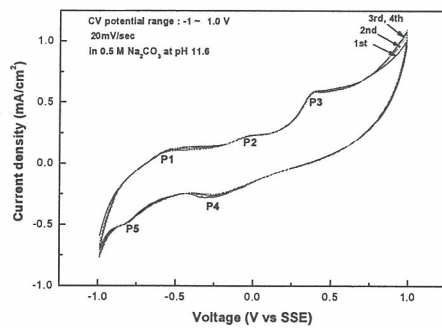


Fig. 1. 산소 발생전위까지의 Voltammogram

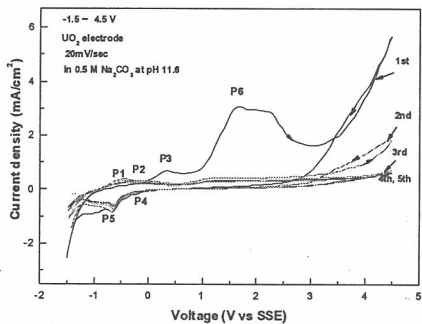


Fig. 2. +4.5 V까지의 Voltammogram

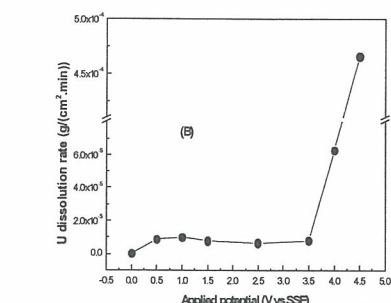
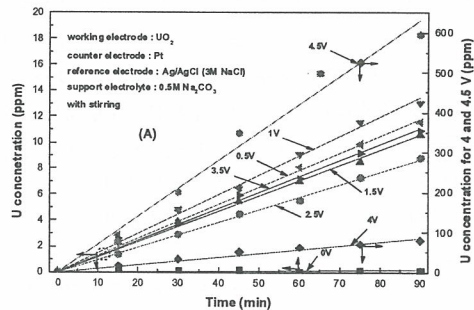


Fig. 3. 여러 정전압 공급에 따른  $\text{UO}_2$  용해속도